

Fig.1 通常内視鏡像. a: 十二指腸球部(白色光像), b: 十二指腸球部(インジゴカルミン色素撒布像), c,d: 十二指腸下行部(白色光像), e: 十二指腸下行部(インジゴカルミン色素撒布像).

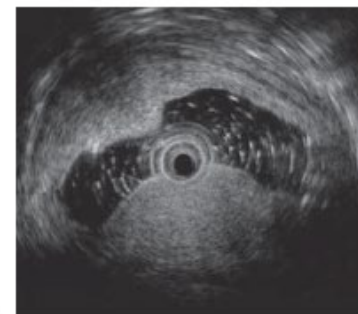
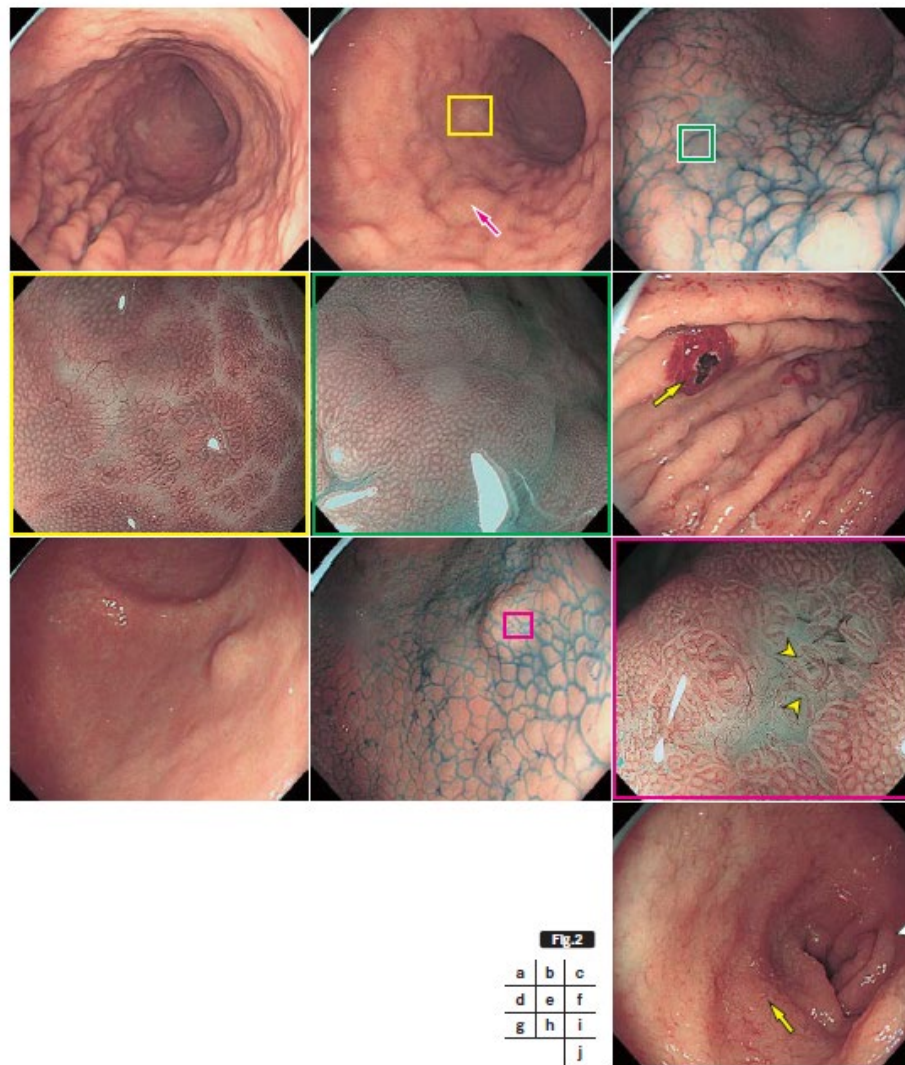


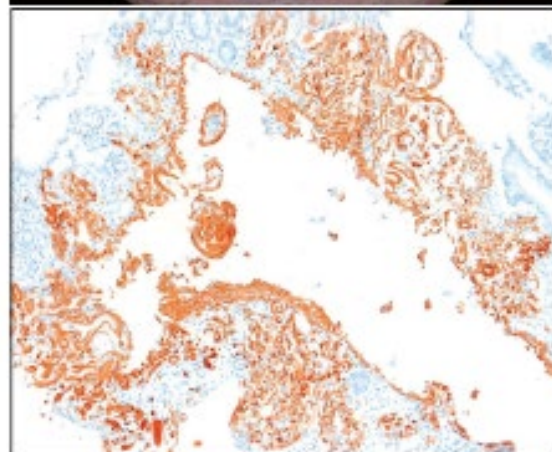
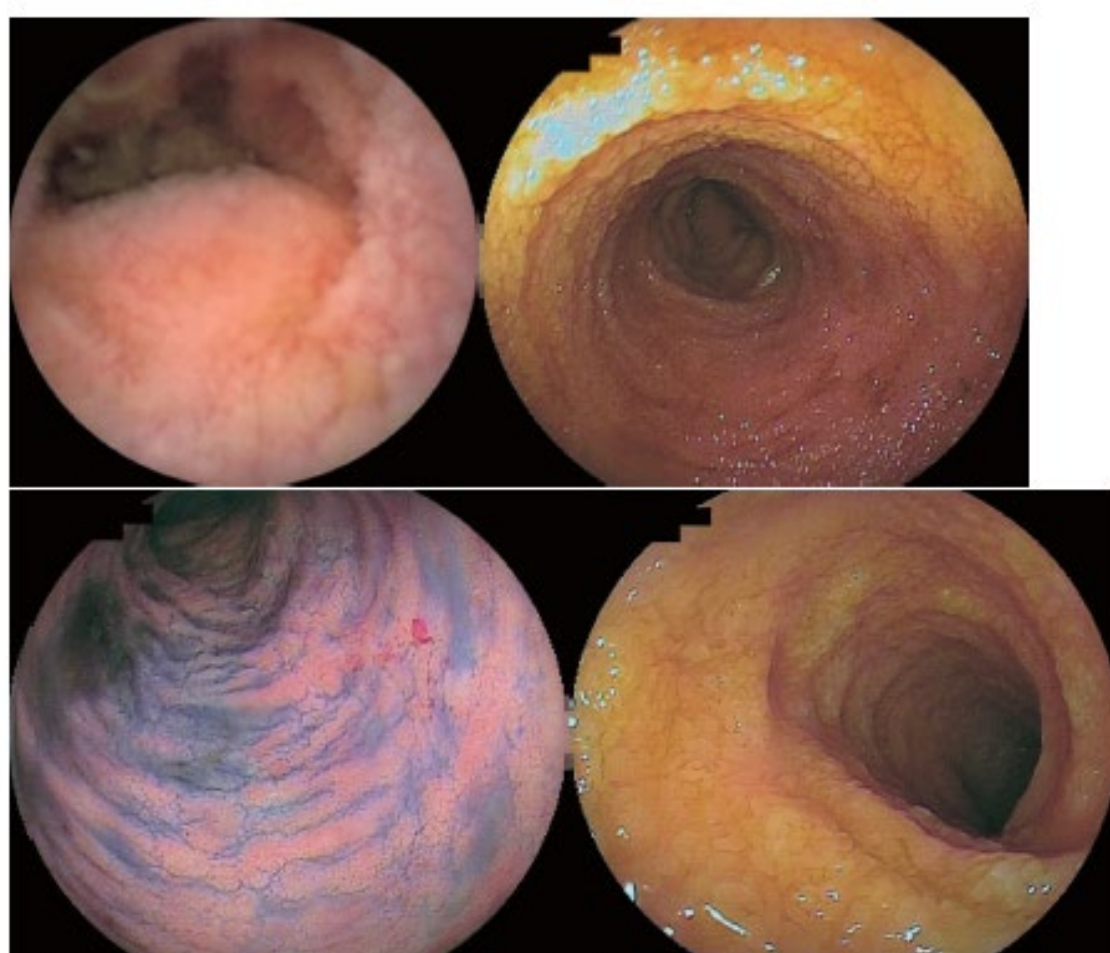
Fig.2 EUS像(十二指腸球部後壁のSMT様隆起部).



結節状隆起から成る粗糙粘膜模様を認めた。胃体部大彎の粘膜ひだが一部蛇行・腫大しているが、胃壁の伸展は良好であった (Fig.1)。十二指腸球部～上十二指腸角にかけて微細顆粒状粘膜模様を認め、十二指腸下行部の Kerckring 皺襞は腫大し浮腫状を呈した (Fig.1b)。胃と十二指腸にびらん・潰瘍所見は認めなかった。

内視鏡所見

胃体部に大小の顆粒状・結節状隆起を認め、胃体部大彎の粘膜ひだは蛇行・腫大していた。びらん・潰瘍所見は認めなかった (Fig.2a)。胃体下部大彎に褐色調で境界不明瞭な5mmほどの平坦陥凹所見を認めた (Fig.2b, 黄棒部)。インジゴカルミン色素撒布像では大小の顆粒状・結節状隆起が明瞭となった。褐色調



a	b
c	d
e	

Fig. 1 (症例 2) AA アミロイドーシス (NSAIDs 常用あり).

a~d 小腸内視鏡検査で微細顆粒状粘膜面を認め、Kerckring 皺襞の不明瞭化を認めた。

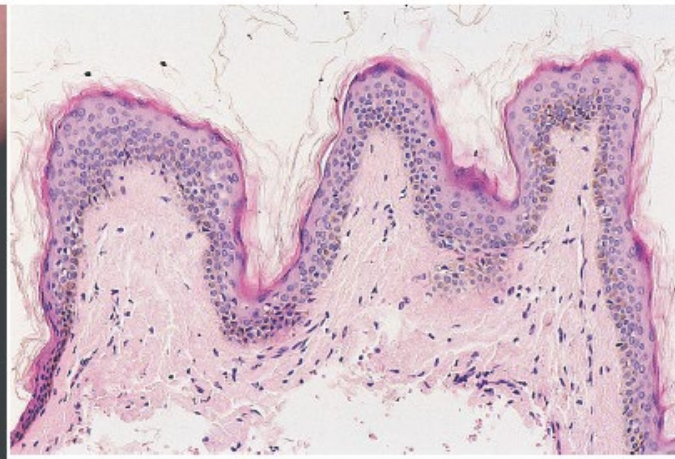
a CE 像. 上部小腸.

b DBE 像. 空腸.

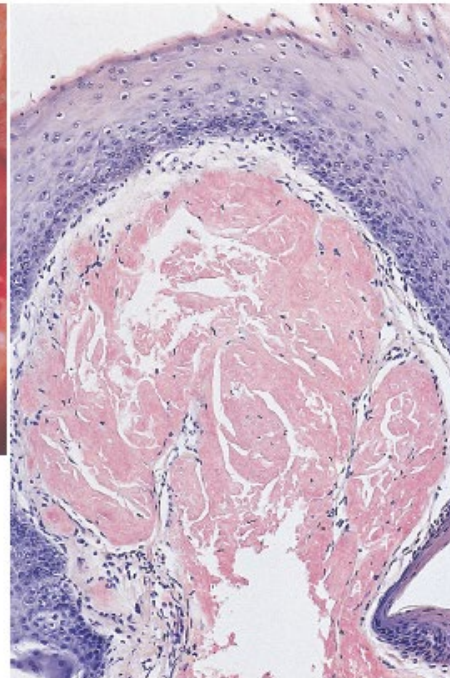
c DBE 像. 空腸. 色素撒布像.

d DBE 像. 回腸.

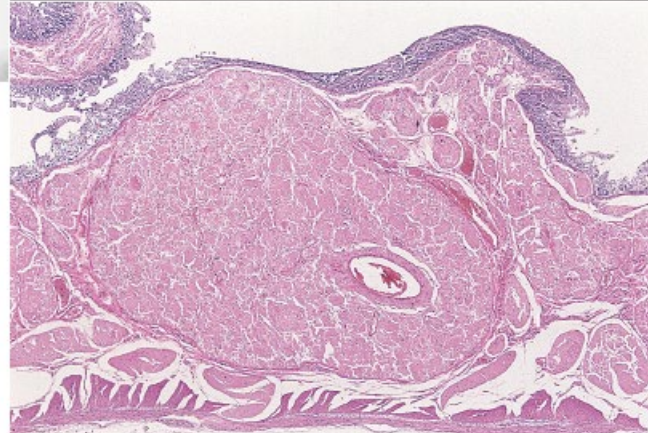
e 生検病理組織像. 空腸. 粘膜筋板および粘膜固有層にびまん性に, serum amyloid A 陽性のアミロイド沈着を認めた.



a **b** **Fig. 1** AL amyloidosis.
a Reddish nodular lesions are seen at the lateral malleolus and 5th proximal phalanx.
b Massive amyloid deposits are observed in the papillary dermis of the skin (HE, $\times 50$).



a **b** **Fig. 2** AL amyloidosis.
a Photograph showing a macroglossia.
b Massive amyloid deposits are observed in the submucosal stroma of the tongue (HE, $\times 33$).



	b
a	c
	d

Fig. 3 AL amyloidosis.
a Radiograph of the duodenum reveals thickened folds and polypoid protrusions.
b Endoscopy shows enlargement of folds and yellowish-white polypoid protrusions.
c Autopsy specimen of the small intestine reveals thickened folds and polypoid protrusions.
d Microphotograph of the autopsy specimen showing massive amyloid deposits in the muscularis mucosa and submucosa (HE, $\times 6.6$).

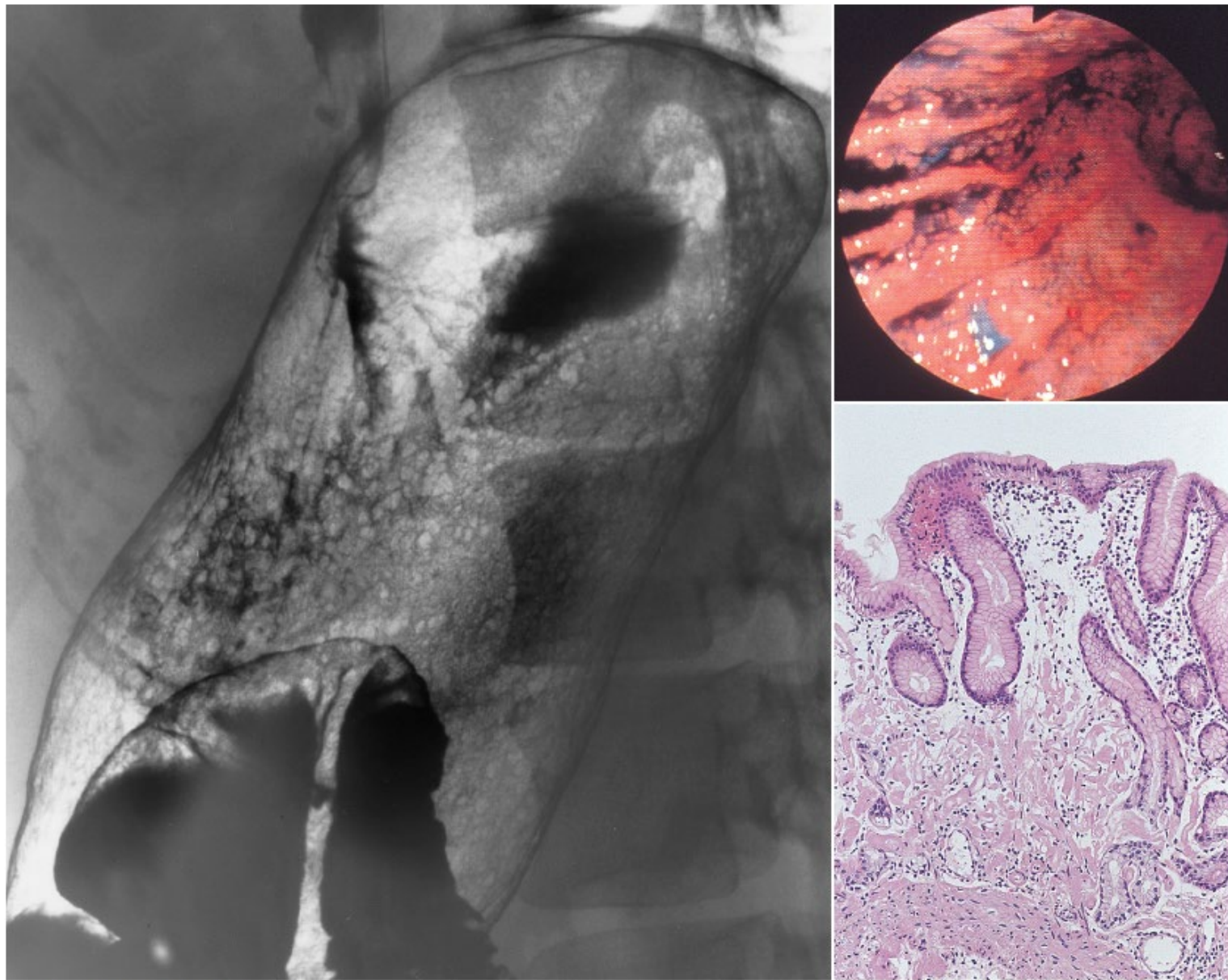


Fig. 5 AA amyloidosis.

- a** | **b** Radiograph of the stomach reveals innumerable fine granules.
c | **b** Endoscopy using a sprayed dye technique shows innumerable fine granules in the body of the stomach.
c | **c** Biopsy specimen showing expansion of the lamina propria by amyloid deposits (HE, $\times 40$).